

УДК 539.3

Расчет колебаний составных оболочек вращения с соединительными шпангоутами по методу конечных элементов

Рей Чжунбум

Московский авиационный институт (национальный исследовательский университет), МАИ, Волоколамское шоссе 4, Москва, А-80, ГСП-3, 125993, Россия

e-mail: joyfulife@hanmail.net

Аннотация

Разработан алгоритм расчета по методу конечных элементов (МКЭ) осесимметричных и неосесимметричных колебаний составных ортотропных оболочек вращения со шпангоутами. Упругая оболочка с учетом ее предварительного осесимметричного напряженно-деформированного состояния моделируется системой кольцевых конических полосок (КЭ). Шпангоут рассматривается как упругое кольцо с недеформируемым поперечным сечением, которое соединяет примыкающие к нему КЭ оболочки на одной, двух или более узловых окружностях.

Шпангоут с деформируемым контуром поперечного сечения рассматривается как упругая оболочка вращения, которая также представляется системой нескольких кольцевых конических КЭ.

В качестве примера рассмотрены свободные колебания цилиндрической оболочки с тонкостенным сферическим днищем, соединенных упругим шпангоутом. Оценено влияние параметров шпангоута на собственные частоты колебаний.

Ключевые слова: оболочка вращения, оболочки составные, шпангоута круговой, шпангоут тонкостенный, колебания упругие, метод конечных элементов

Введение

Расчету колебаний оболочек вращения с подкрепляющими шпангоутами (ребрами) посвящено большое количество работ. При этом используются различные расчетные модели: 1) при частом расположении ребер с достаточно малыми разме-

рами их поперечных сечений по сравнению с радиусом они "размазываются" вдоль образующей, [1]; 2) дискретные шпангоуты заменяются эквивалентными упругими связями по перемещениям и углу поворота, распределенными вдоль окружности [2]; 3) шпангоуты рассматриваются как кольцевые стержни с недеформируемым поперечным сечением, соединенные с оболочками на одной, двух или более окружностях [3, 4]; 4) при использовании метода конечных элементов (МКЭ) для оболочки вращения используются КЭ в виде кольцевых полосок, а для шпангоута с деформируемым поперечным сечением – в виде системы кольцевых оболочечных или объемных КЭ [5, 6].

В данной работе для расчета осесимметричных и неосесимметричных колебаний составных ортотропных оболочек вращения при использовании КЭ – модели упругие подкрепляющие и соединительные шпангоуты рассматриваются как отдельные кольцевые КЭ с недеформируемым поперечным сечением. Тонкостенные шпангоуты с произвольным открытым или замкнутым контуром поперечного сечения считаются деформируемыми и представляются в виде системы КЭ оболочки вращения.

Постановка задачи

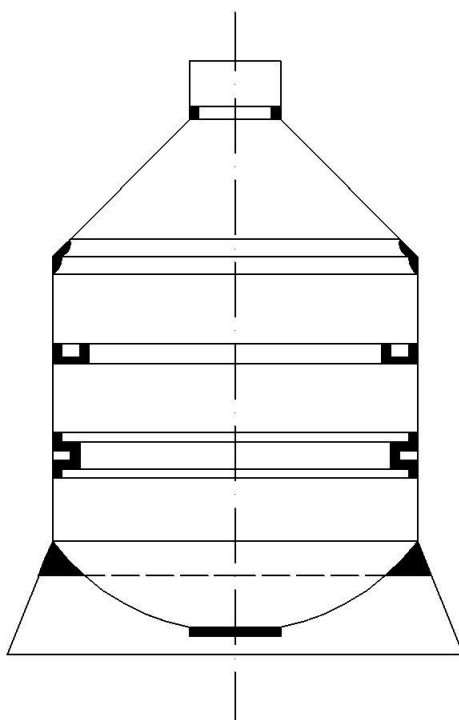


Рис. 1

Рассмотрим тонкую упругую ортотропную оболочку вращения, (рис.1), будем считать, что в окружном направлении, представляемом угловой координатой θ , все параметры оболочки являются постоянными и система находится в стационарном

осесимметричном напряженно-деформированном состоянии. В этом случае все неизвестные функции линейной задачи гидроупругости можно представить в виде разложений в ряды Фурье по функциями $\cos n\theta$, $\sin n\theta$, при $n=0,1,2,\dots$. В силу ортогональности этих функций при $0 \leq \theta \leq 2\pi$ колебания системы распадаются на осесимметричные ($n=0$) и неосесимметричные ($n=1,2,3,\dots$). Здесь будем рассматривать колебания по одной из гармоник ряда Фурье при заданном $n=0,1,2,\dots$.

При расчете колебаний оболочки будем использовать МКЭ, рассматривая в качестве КЭ узкие кольцевые полоски оболочки. Оболочки всех КЭ будем считать коническими; в этом случае меридиан оболочки аппроксимируется ломаной линией, состоящей из прямолинейных участков малой длины. Деформации тонкой оболочки КЭ описываются на основании теории Кирхгофа-Лява.

Перемещения и деформации срединной поверхности, углы поворота нормали и изменения кривизн оболочки для n -ой гармоники запишем в виде

$$\{u, w, \varepsilon_s, \varepsilon_\theta, \mathcal{G}_s, \mathcal{G}_\theta, \kappa_s, \kappa_\theta\} U \{W, \bar{\varepsilon}_s, \bar{\varepsilon}_\theta, \bar{\mathcal{G}}_s, \bar{\mathcal{G}}_\theta, \bar{\kappa}_s, \bar{\kappa}_\theta, \kappa_s, \kappa_\theta, \gamma_{s\theta}\} \quad (1)$$

$$\{v, \gamma_{s\theta}, \mathcal{G}_\theta, \kappa_{s\theta}\} = \{V, \bar{\gamma}_{s\theta}, \bar{\mathcal{G}}_\theta, \bar{\kappa}_{s\theta}\} \sin n\theta.$$

Амплитудные значения (1) в случае конической оболочки КЭ связаны соотношениями [7]:

$$\bar{\varepsilon}_s = \frac{\partial U}{\partial s} + \mathcal{G}_s^o \bar{\mathcal{G}}_s, \quad \bar{\varepsilon}_\theta = \frac{1}{R} (U \cos \varphi + W \sin \varphi + nV),$$

$$\gamma_{s\theta} = \frac{\partial V}{\partial s} - \frac{\cos \varphi}{R} V - \frac{n}{R} U + \mathcal{G}_s^o \bar{\mathcal{G}}_\theta; \quad \mathcal{G}_s^o = -\frac{\partial w^o}{\partial s} \quad (2)$$

$$\bar{\mathcal{G}}_s = -\frac{\partial W}{\partial s}, \quad \bar{\mathcal{G}}_\theta = \frac{\sin \varphi}{R} V + \frac{n}{R} W; \quad \bar{\kappa}_s = -\frac{\partial^2 W}{\partial s^2},$$

$$\bar{\kappa}_\theta = \frac{n}{R^2} \sin \varphi \cdot V + \frac{n^2}{R^2} W - \frac{\cos \varphi}{R} \frac{\partial W}{\partial s},$$

$$\bar{\kappa}_{s\theta} = \frac{n}{R^2} (\sin \varphi \cdot U - \cos \varphi \cdot W + \frac{n}{R} \frac{\partial W}{\partial s});$$

$\mathcal{G}^o(s)$ – угол поворота нормали оболочки в предварительном осесимметричном напряженно-деформированном состоянии с усилиями $N_s^0(s)$, $N_\theta^0(s)$ и перемещениями $u^o(s)$, $w^o(s)$.

Потенциальная энергия деформации ортотропной оболочки k -го КЭ (рис.2) для n -ой гармоники с учетом предварительного напряженно-деформированного состояния записывается в виде

$$\begin{aligned} \Pi_o^{(k)} = \frac{1}{2} \delta_n \pi \int_0^{l_k} \left[B_s \bar{\varepsilon}_s^2 + 2B_s \mu_\theta \bar{\varepsilon}_s \bar{\varepsilon}_\theta + B_\theta \bar{\varepsilon}_\theta^2 + B_{s\theta} \bar{\gamma}_{s\theta}^2 + \right. \\ \left. + D_s \bar{\kappa}_s^2 + 2D_s \mu_\theta \bar{\kappa}_s \bar{\kappa}_\theta + D_\theta \bar{\kappa}_\theta^2 + D_{s\theta} \bar{\kappa}_{s\theta}^2 + N_s^o \bar{\mathcal{G}}_s^2 + N_\theta^o \bar{\mathcal{G}}_\theta^2 \right] R ds, \end{aligned} \quad (3)$$

где

$$\begin{aligned} B_s = \frac{E_s h}{1 - \mu_s \mu_\theta}, \quad B_\theta = \frac{E_\theta h}{1 - \mu_s \mu_\theta}, \quad D_s = \frac{E_s h^3}{12(1 - \mu_s \mu_\theta)}, \quad D_\theta = \frac{E_\theta h^3}{12(1 - \mu_s \mu_\theta)}, \\ B_{s\theta} = Gh, \quad D_{s\theta} = \frac{Gh^3}{3}; \quad \frac{\mu_s}{B_s} = \frac{\mu_\theta}{B_\theta}, \quad \frac{\mu_s}{D_s} = \frac{\mu_\theta}{D_\theta}, \quad R = R_{k-1} \left(1 - \frac{s}{l_k} \right) + R_k \left(\frac{s}{l_k} \right); \end{aligned}$$

h —толщина оболочки; E, G, μ — модуль нормальной упругости, модуль сдвига и коэффициент Пуассона (индексы s и θ указывают на меридиональное и окружное направления); $\delta_n = 2$ при $n=0$, $\delta_n = 1$ при $n=1, 2, 3, \dots$. Длина образующей l_k k -го КЭ оболочки должна быть значительно меньше длины $l_{\kappa, u}$ зоны изгибного краевого эффекта ($l_\kappa \ll l_{\kappa, u}$), которая имеет наименьшее значение $l_{\kappa, u} \approx 3\sqrt{2} \left[D_s R_k^2 / B_\theta \sin^2 \varphi_k \right]^{1/4}$ при $n=0$ и постепенно возрастает при $n=1, 2, 3, \dots$

Кинетическая энергия оболочки k -го КЭ для n -ой гармоники:

$$T_o^{(k)} = \frac{1}{2} \delta_n \pi \int_0^{l_k} \rho_o h (\dot{U}^2 + \dot{V}^2 + \dot{W}^2) R ds \quad (4)$$

ρ_o — плотность материала оболочки.

Матрицы жесткости и инерции оболочки

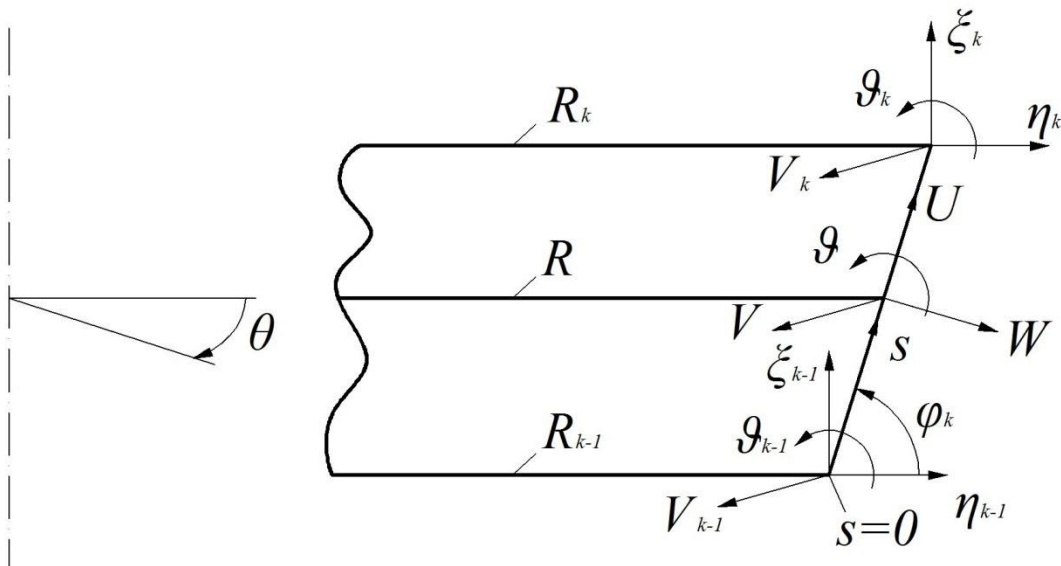


Рис.2

Амплитудные значения меридионального, нормального и окружного перемещений конического КЭ оболочки (рис.2) для n -ой гармоники аппроксимируются

степенными функциями меридиональной координаты s с неизвестными коэффициентами $\alpha_1, \alpha_2, \dots, \alpha_8$, зависящими от времени t :

$$U = \alpha_1 + \alpha_2 s, \quad W = \alpha_3 + \alpha_4 s + \alpha_5 s^2 + \alpha_6 s^3, \quad V = \alpha_7 + \alpha_8 s. \quad (5)$$

Аппроксимации (5) удовлетворяют перемещениям КЭ как твердого тела при $n = 0, 1$.

Соотношения (2) с учетом (5) записываются в матричном виде

$$\begin{aligned} \bar{\varepsilon}_s &= \sum_{i=1}^8 \alpha_i \varepsilon_{s,i} = \mathbf{\alpha}^T \boldsymbol{\varepsilon}_s, \quad \bar{\varepsilon}_\theta = \sum_{i=1}^8 \alpha_i \varepsilon_{\theta,i} = \mathbf{\alpha}^T \boldsymbol{\varepsilon}_\theta, \quad \bar{\gamma}_{s\theta} = \sum_{i=1}^8 \alpha_i \gamma_{s\theta,i} = \mathbf{\alpha}^T \boldsymbol{\gamma}_{s\theta}, \\ \bar{\vartheta}_s &= \sum_{i=1}^8 \alpha_i \vartheta_{s,i} = \mathbf{\alpha}^T \boldsymbol{\vartheta}_s, \quad \bar{\vartheta}_\theta = \sum_{i=1}^8 \alpha_i \vartheta_{\theta,i} = \mathbf{\alpha}^T \boldsymbol{\vartheta}_\theta, \quad \bar{\kappa}_s = \sum_{i=1}^8 \alpha_i \kappa_{s,i} = \mathbf{\alpha}^T \boldsymbol{\kappa}_s, \\ \bar{\kappa}_\theta &= \sum_{i=1}^8 \alpha_i \kappa_{\theta,i} = \mathbf{\alpha}^T \boldsymbol{\kappa}_\theta, \quad \bar{\kappa}_{s\theta} = \sum_{i=1}^8 \alpha_i \kappa_{s\theta,i} = \mathbf{\alpha}^T \boldsymbol{\kappa}_{s\theta}, \end{aligned} \quad (6)$$

где

$$\begin{aligned} \boldsymbol{\alpha} &= \{\alpha_i\}_8, \quad \boldsymbol{\varepsilon}_s = \{\varepsilon_{s,i}\}_8, \quad \boldsymbol{\varepsilon}_\theta = \{\varepsilon_{\theta,i}\}_8, \quad \boldsymbol{\gamma}_{s\theta} = \{\gamma_{s\theta,i}\}_8, \quad \boldsymbol{\vartheta}_s = \{\vartheta_{s,i}\}_8, \\ \boldsymbol{\vartheta}_\theta &= \{\vartheta_{\theta,i}\}_8, \quad \boldsymbol{\kappa}_s = \{\kappa_{s,i}\}_8, \quad \boldsymbol{\kappa}_\theta = \{\kappa_{\theta,i}\}_8, \quad \boldsymbol{\kappa}_{s\theta} = \{\kappa_{s\theta,i}\}_8; \end{aligned} \quad (7)$$

$$\varepsilon_{s,1} = \varepsilon_{s,3} = \varepsilon_{s,7} = \varepsilon_{s,8} = 0, \quad \varepsilon_{s,2} = 1, \quad \varepsilon_{s,4} = -\vartheta_s^o, \quad \varepsilon_{s,5} = -2\vartheta_s^o s, \quad \varepsilon_{s,6} = -3\vartheta_s^o s^2;$$

$$\varepsilon_{\theta,1} = \frac{\cos \varphi}{R}, \quad \varepsilon_{\theta,2} = \frac{\cos \varphi}{R} s, \quad \varepsilon_{\theta,3} = \frac{\sin \varphi}{R}, \quad \varepsilon_{\theta,4} = \frac{\sin \varphi}{R} s, \quad \varepsilon_{\theta,5} = \frac{\sin \varphi}{R} s^2,$$

$$\varepsilon_{\theta,6} = \frac{\sin \varphi}{R} s^3, \quad \varepsilon_{\theta,7} = \frac{n}{R}, \quad \varepsilon_{\theta,8} = \frac{n}{R} s; \quad \gamma_{s\theta,1} = -\frac{n}{R}, \quad \gamma_{s\theta,2} = -\frac{n}{R} s,$$

$$\gamma_{s\theta,3} = \vartheta_s^o \frac{n}{R}, \quad \gamma_{s\theta,4} = \vartheta_s^o \frac{n}{R} s, \quad \gamma_{s\theta,5} = \vartheta_s^o \frac{n}{R} s^2, \quad \gamma_{s\theta,6} = \vartheta_s^o \frac{n}{R} s^3,$$

$$\gamma_{s\theta,7} = \vartheta_s^o \frac{\sin \varphi}{R} - \frac{\cos \varphi}{R}, \quad \gamma_{s\theta,8} = 1 - \frac{\cos \varphi}{R} s + \vartheta_s^o \frac{\sin \varphi}{R} s;$$

$$\vartheta_{s,1} = \vartheta_{s,2} = \vartheta_{s,3} = \vartheta_{s,7} = \vartheta_{s,8} = 0, \quad \vartheta_{s,4} = -1, \quad \vartheta_{s,5} = -2s, \quad \vartheta_{s,6} = -3s^2;$$

$$\vartheta_{\theta,1} = \vartheta_{\theta,2} = 0,$$

$$\vartheta_{\theta,3} = \frac{n}{R}, \quad \vartheta_{\theta,4} = \frac{n}{R} s, \quad \vartheta_{\theta,5} = \frac{n}{R} s^2, \quad \vartheta_{\theta,6} = \frac{n}{R} s^3, \quad \vartheta_{\theta,7} = \frac{\sin \varphi}{R}, \quad \vartheta_{\theta,8} = \frac{\sin \varphi}{R} s;$$

$$\kappa_{s,1} = \kappa_{s,2} = \kappa_{s,3} = \kappa_{s,4} = \kappa_{s,7} = \kappa_{s,8} = 0, \quad \kappa_{s,5} = -2, \quad \kappa_{s,6} = -6s;$$

$$\kappa_{\theta,1} = \kappa_{\theta,2} = 0, \quad \kappa_{\theta,3} = \frac{n^2}{R^2}, \quad \kappa_{\theta,4} = \frac{n^2}{R^2} s - \frac{\cos \varphi}{R}, \quad \kappa_{\theta,5} = \frac{n^2}{R^2} s^2 - 2 \frac{\cos \varphi}{R} s,$$

$$\kappa_{\theta,6} = \frac{n^2}{R^2} s^3 - 3 \frac{\cos \varphi}{R} s^2, \quad \kappa_{\theta,7} = \frac{n}{R^2} \sin \varphi, \quad \kappa_{\theta,8} = \frac{n}{R^2} \sin \varphi \cdot s;$$

$$\begin{aligned} \kappa_{s\theta,1} &= \frac{n \sin \varphi}{R^2}, \quad \kappa_{s\theta,2} = \frac{n \sin \varphi}{R^2} s, \quad \kappa_{s\theta,3} = -\frac{n \cos \varphi}{R^2}, \quad \kappa_{s\theta,4} = \frac{n}{R} - \frac{n \cos \varphi}{R^2} s, \\ \kappa_{s\theta,5} &= 2 \frac{n}{R} s - \frac{n \cos \varphi}{R^2} s^2, \quad \kappa_{s\theta,6} = 3 \frac{n}{R} s^2 - \frac{n \cos \varphi}{R^2} s^3, \quad \kappa_{s\theta,7} = \kappa_{s\theta,8} = 0. \end{aligned}$$

При осесимметричных продольно-радиальных колебаниях системы $n=0$ и $\nu = \gamma_{s\theta} = \vartheta_{\theta} = \kappa_{s\theta} = 0$. Соответственно этому в выражениях (6),(7) следует положить $\alpha_7 = \alpha_8 = 0$, $i=1,2,\dots,6$; векторы (7) при этом будут иметь 6-ый порядок.

С учетом (1),(2),(5),(6) потенциальная энергия k -го КЭ оболочки (3) записывается в виде

$$P_o^{(k)} = \frac{1}{2} \mathbf{a}^T \mathbf{K}_{\alpha}^{(k)} \mathbf{a}; \quad (8)$$

$$\begin{aligned} \mathbf{K}_{\alpha}^{(k)} &= \delta_n \pi \int_0^{l_k} \left[B_s \boldsymbol{\varepsilon}_s \boldsymbol{\varepsilon}_s^T + B_s \mu_{\theta} (\boldsymbol{\varepsilon}_s \boldsymbol{\varepsilon}_{\theta}^T + \boldsymbol{\varepsilon}_{\theta} \boldsymbol{\varepsilon}_s^T) + B_{\theta} \boldsymbol{\varepsilon}_{\theta} \boldsymbol{\varepsilon}_{\theta}^T + B_{s\theta} \boldsymbol{\gamma}_{s\theta} \boldsymbol{\gamma}_{s\theta}^T + D_s \mathbf{k}_s \mathbf{k}_s^T + \right. \\ &\quad \left. + D_s \mu_{\theta} (\mathbf{k}_s \mathbf{k}_{\theta}^T + \mathbf{k}_{\theta} \mathbf{k}_s^T) + D_{\theta} \mathbf{k}_{\theta} \mathbf{k}_{\theta}^T + D_{s\theta} \mathbf{k}_{s\theta} \mathbf{k}_{s\theta}^T + N_s^o \boldsymbol{\vartheta}_s \boldsymbol{\vartheta}_s^T + N_{\theta}^o \boldsymbol{\vartheta}_{\theta} \boldsymbol{\vartheta}_{\theta}^T \right] R ds \end{aligned}$$

– матрица жесткости k -го КЭ для вектора \mathbf{a} ; в случае неосесимметричных колебаний ($n=1,2,\dots$ и $\delta_n=1$) она имеет 8-й порядок, а в случае осесимметричных колебаний ($n=0$ и $\delta_n=2$) – 6-й порядок.

Кинетическая энергия k -го КЭ оболочки (4) с учетом (1),(5) будет

$$T_o^{(k)} = \frac{1}{2} \dot{\mathbf{a}}^T \mathbf{M}_{\alpha}^{(k)} \dot{\mathbf{a}}, \quad (9)$$

где матрица инерции $\mathbf{M}_{\alpha}^{(k)}$ k -го КЭ оболочки для вектора \mathbf{a} имеет 8-й порядок для неосесимметричных колебаний ($n=1,2,\dots$ и $\delta_n=1$) и 6-й порядок – для осесимметричных колебаний ($n=0$ и $\delta_n=2$).

Для удобства соединения разных оболочек через упругие соединительные шпангоуты в качестве основных обобщенных координат k -го КЭ оболочки будем рассматривать амплитудные значения осевого $\xi = U \sin \varphi - W \cos \varphi$, радиального $\eta = U \cos \varphi + W \sin \varphi$ и окружного V перемещений и угла поворота нормали в меридиональной плоскости $\bar{\vartheta}_s \rightarrow \vartheta$ на краях $s=0$ и $s=l_k$, рис.2. Векторы основных обобщенных координат k -го КЭ для неосесимметричных и осесимметричных колебаний, соответственно, записываются в виде

$$\mathbf{q}^{(k)} = [\xi_{k-1} \quad \eta_{k-1} \quad \vartheta_{k-1} \quad V_{k-1} \quad \xi_k \quad \eta_k \quad \vartheta_k \quad V_k]^T, \quad (10)$$

$$\mathbf{q}^{(k)} = [\xi_{k-1} \quad \eta_{k-1} \quad \vartheta_{k-1} \quad \xi_k \quad \eta_k \quad \vartheta_k]^T. \quad (11)$$

При этом вектор \mathbf{a} выражается через $\mathbf{q}^{(k)}$ как

$$\mathbf{a} = \mathbf{G}_k \mathbf{q}^{(k)}, \quad (12)$$

где матрица преобразования для неосесимметричных колебаний с учетом обозначений $\sin \varphi_k = s_k, \cos \varphi_k = c_k$ записывается в виде

$$\mathbf{G}_k = \begin{bmatrix} s_k & c_k & 0 & 0 & 0 & 0 & 0 & 0 \\ -l_k^{-1} s_k & -l_k^{-1} c_k & 0 & 0 & l_k^{-1} s_k & l_k^{-1} c_k & 0 & 0 \\ -c_k & s_k & 0 & 0 & 0 & 0 & 0 & 0 \\ 0 & 0 & -1 & 0 & 0 & 0 & 0 & 0 \\ 3l_k^{-2} c_k & -3l_k^{-2} s_k & 2l_k^{-1} & 0 & -3l_k^{-2} c_k & 3l_k^{-2} s_k & l_k^{-1} & 0 \\ -2l_k^{-3} c_k & 2l_k^{-3} s_k & -l_k^{-1} & 0 & 2l_k^{-3} c_k & -2l_k^{-3} s_k & -l_k^{-1} & 0 \\ 0 & 0 & 0 & 1 & 0 & 0 & 0 & 0 \\ 0 & 0 & 0 & -l_k^{-1} & 0 & 0 & 0 & l_k^{-1} \end{bmatrix}; \quad (13)$$

для осесимметричных колебаний в приведенной выше матрице (13) необходимо вычеркнуть последние две строки, соответствующие α_7, α_8 , и 4-й и 8-й столбцы, соответствующие V_{k-1}, V_k .

С учетом преобразования (12) потенциальная и кинетическая энергии оболочки k -го КЭ имеют вид:

$$\begin{aligned} \Pi_o^{(k)} &= \frac{1}{2} \mathbf{q}^{(k)T} \mathbf{K}_o^{(k)} \mathbf{q}^{(k)}, \quad \mathbf{K}_o^{(k)} = \mathbf{G}_k^T \mathbf{K}_\alpha^{(k)} \mathbf{G}_k; \\ T_o^{(k)} &= \frac{1}{2} \dot{\mathbf{q}}^{(k)T} \mathbf{M}_o^{(k)} \dot{\mathbf{q}}^{(k)}, \quad \mathbf{M}_o^{(k)} = \mathbf{G}_k^T \mathbf{M}_\alpha^{(k)} \mathbf{G}_k, \end{aligned} \quad (14)$$

где $\mathbf{K}_o^{(k)}, \mathbf{M}_o^{(k)}$ – матрицы жесткости и инерции k -го КЭ оболочки для основных обобщенных координатах (10) или (11).

Для упрощения вычислений кинетической энергии узкой кольцевой полоски k -го КЭ, а также вариации работы действующего на нее давления, амплитудное значение нормального перемещения W можно аппроксимировать линейной функцией (как и тангенциальных перемещений U, V):

$$W = W_{k-1}^{(k)} (1 - s/l_k) + W_k^{(k)} (s/l_k).$$

Тогда для матрицы инерции $\mathbf{M}^{(k)}$ будем иметь следующее приближенное выражение для случая неосесимметричных колебаний ($n = 1, 2, \dots$ и $\delta_n = 1$):

$$\mathbf{M}^{(k)} = \delta_n \frac{\pi \rho_o h l_k}{12} \times$$

$$\times \begin{bmatrix} 3R_{k-1} + R_k & 0 & 0 & 0 & R_{k-1} + R_k & 0 & 0 & 0 \\ 0 & 3R_{k-1} + R_k & 0 & 0 & 0 & R_{k-1} + R_k & 0 & 0 \\ 0 & 0 & 0 & 0 & 0 & 0 & 0 & 0 \\ 0 & 0 & 0 & 3R_{k-1} + R_k & 0 & 0 & 0 & R_{k-1} + R_k \\ R_{k-1} + R_k & 0 & 0 & 0 & R_{k-1} + 3R_k & 0 & 0 & 0 \\ 0 & R_{k-1} + R_k & 0 & 0 & 0 & R_{k-1} + 3R_k & 0 & 0 \\ 0 & 0 & 0 & 0 & 0 & 0 & 0 & 0 \\ 0 & 0 & 0 & R_{k-1} + R_k & 0 & 0 & 0 & R_{k-1} + 3R_k \end{bmatrix} \cdot (15)$$

Для случая осесимметричных колебаний ($n=0$ и $\delta_n=2$) в этой матрице необходимо вычеркнуть 4-ю и 8-ю строки и 4-й и 8-й столбцы, соответствующие V_{k-1} и V_k .

Дно оболочки с полюсом, где $R \rightarrow 0$, при численном решении можно заменить отверстием достаточно малого радиуса R_o со свободным краем $k=0$ (на этом краю $\xi_o, \eta_o, \vartheta_o, V_o$ считаются неизвестными) или абсолютно жесткой пластиной радиуса R_o . Тогда при абсолютно жестком соединении пластины и первого ($k=1$) КЭ на краю $k=0$ необходимо выполнить условия: $\eta_o = \vartheta_o = 0$ при $n=0$; $\xi_o = R_o \vartheta_o, V_o = -\eta_o$ при $n=1$; $\xi_o = \eta_o = \vartheta_o = V_o = 0$ при $n=2, 3, \dots$

Матрицы жесткости и инерции шпангоута

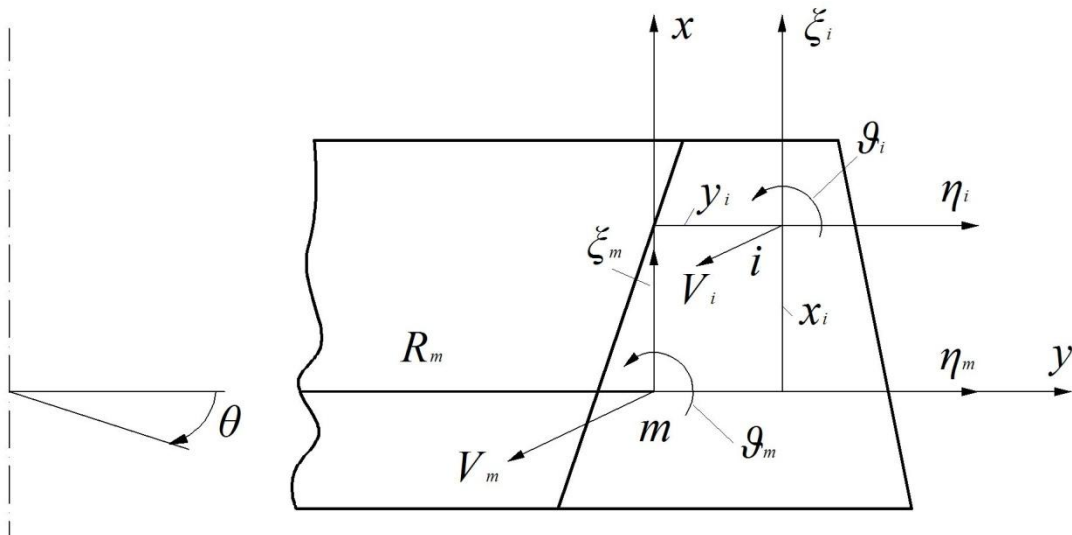


Рис. 3

Рассмотрим m -ый кольцевой шпангоут с произвольной формой недеформируемого поперечного сечения, рис.3; начало координат x, y поперечного сечения шпангоута располагается в его произвольной точке m , расстояние от которой до оси (радиус шпангоута) обозначается через R_m . Размеры поперечного сечения шпанго-

ута будем считать малыми по сравнению с R_m ; поперечными сдвигами поперечных сечений шпангоута будем пренебрегать. Осевое и радиальное перемещения на окружности радиуса R_m и угол закручивания поперечного сечения представляются в виде $\xi_m \cos n\theta$, $\eta_m \cos n\theta$, $\vartheta_m \cos n\theta$, а окружное перемещение – как $V_m \sin n\theta$; $n = 0, 1, 2, \dots$. Амплитудные значения $\xi_m^{(t)}$, $\eta_m^{(k)}$, $\vartheta_m^{(k)}$ и $V_m^{(t)}$ принимаются за обобщенные координаты m -го шпангоута, векторы которых для неосесимметричных ($n = 1, 2, 3, \dots$) и осесимметричных ($n = 0$) колебаний будем обозначать соответственно как

$$\mathbf{X}_m = [\xi_m \quad \eta_m \quad \vartheta_m \quad V_m]^T, \quad \mathbf{X}_m = [\xi_m \quad \eta_m \quad \vartheta_m]^T. \quad (16)$$

Потенциальная и кинетическая энергии рассматриваемого шпангоута записываются также как для тонкостенного кольцевого шпангоута с недеформируемым в своей плоскости поперечным сечением [3, 4], пренебрегая его депланацией ($\omega(s) \approx 0$) и изменяя на обратные направления θ, V_m и ϑ_m . С учетом этого потенциальная и кинетическая энергии m -го шпангоута записываются в виде:

$$P_u^{(m)} = \frac{1}{2} \mathbf{X}_m^T \mathbf{K}_u^{(m)} \mathbf{X}_m, \quad T_u^{(m)} = \frac{1}{2} \dot{\mathbf{X}}_m^T \mathbf{M}_u^{(m)} \dot{\mathbf{X}}_m; \quad (17)$$

$$\mathbf{K}_u^{(m)} = [k_{ij}], \quad \mathbf{M}_u^{(m)} = [m_{ij}]$$

– матрицы жесткости и инерции m -го шпангоута.

В общем случае для неосесимметричных колебаний ($n = 1, 2, 3, \dots$; $\delta_n = 1$; $i, j = 1, 2, 3, 4$) будем иметь следующие выражения для коэффициентов обобщенных жесткостей и обобщенных масс m -го шпангоута:

$$\begin{aligned} k_{11} &= \delta_n \pi E R_m^{-3} n^2 (n^2 I_y + \gamma J_{кр}), \\ k_{12} &= \delta_n \pi E R_m^{-3} n^2 \langle (n^2 - 1) I_{xy} + S_y R_m \rangle, \\ k_{13} &= -\delta_n \pi E R_m^{-2} n^2 (I_y + \gamma J_{кр}), \\ k_{14} &= \delta_n \pi E R_m^{-2} n^3 S_y, \\ k_{22} &= \delta_n \pi E R_m^{-3} \langle F R_m^2 + (2n^2 - 1) S_x R_m + (n^2 - 1)^2 I_x \rangle, \\ k_{23} &= -\delta_n \pi E R_m^{-2} \langle (n^2 - 1) I_{xy} + S_y R_m \rangle, \\ k_{24} &= \delta_n \pi E R_m^{-2} n (F R_m + n^2 S_x), \\ k_{33} &= \delta_n \pi E R_m^{-1} n (I_y + n^2 \gamma J_{кр}), \\ k_{34} &= -\delta_n \pi E R_m^{-1} n S_y, \\ k_{44} &= \delta_n \pi E R_m^{-2} n^2 (F R_m + S_x), \quad k_{ij} = k_{ji}; \end{aligned} \quad (18)$$

$$\begin{aligned}
m_{11} &= \delta_n \pi \rho_o R_m^{-1} (FR_m^2 + S_x R_m + n^2 I_x) \\
m_{12} &= \delta_n \pi \rho_o R_m^{-1} n^2 I_{xy}, \\
m_{13} &= \delta_n \pi \rho_o (I_x + S_x R_m), \\
m_{14} &= \delta_n \pi \rho_o R_m^{-1} n (2I_{xy} + S_y R_m), \\
m_{22} &= \delta_n \pi \rho_o (FR_m + S_x), \\
m_{23} &= -\delta_n \pi \rho_o (I_{xy} + S_y R_m), \\
m_{24} &= \delta_n \pi \rho_o R_m^{-1} n (2I_x + S_x R_m), \\
m_{33} &= -\delta_n \pi \rho_o R_m^{-1} (I_x + I_y), \\
m_{34} &= -\delta_n \pi \rho_o n S_y, \\
m_{44} &= \delta_n \pi \rho_o R_m^{-1} (FR_m^2 + 3I_x + 3S_x R_m), \quad m_{ij} = m_{ji}. \tag{19}
\end{aligned}$$

Здесь $F, S_x, S_y, I_x, I_y, I_{xy}$ – площадь, статические моменты и моменты инерции площади поперечного сечения в общепринятых обозначениях; $\gamma = G/E$, $J_{кр}$ – приведенный момент инерции поперечного сечения на кручение ($GJ_{кр}$ – крутильная жесткость). В случае осесимметричных колебаний в выражениях (18),(19) следует положить: $n = 0, \delta_n = 2, i, j = 1, 2, 3$.

Условия соединения шпангоута с оболочками

Амплитудные значения перемещений в точке i m -го шпангоута (рис.3) выражаются через его перемещения в начале координат m как

$$\xi_i = \xi_m + \mathcal{G}_m y_i, \quad \eta_i = \eta_m - \mathcal{G}_m x_i, \quad V_i = V_m \frac{R_i}{R_m} + \xi_m \frac{n}{R_m} x_i + \eta_m \frac{n}{R_m} y_i. \tag{20}$$

Эти соотношения с учетом $\mathcal{G}_i = \mathcal{G}_m$ записываются в матричном виде в зависимости от вектора X_m :

$$\mathbf{X}_{m,i} = \mathbf{C}_{m,i} \mathbf{X}_m; \quad \mathbf{X}_m = \begin{bmatrix} \xi_m \\ \eta_m \\ \mathcal{G}_m \\ V_m \end{bmatrix}, \quad \mathbf{X}_{m,i} = \begin{bmatrix} \xi_i \\ \eta_i \\ \mathcal{G}_i \\ V_i \end{bmatrix}, \quad \mathbf{C}_{m,i} = \begin{bmatrix} 1 & 0 & y_i & 0 \\ 0 & 1 & -x_i & 0 \\ 0 & 0 & 1 & 0 \\ n \frac{x_i}{R_m} & n \frac{y_i}{R_m} & 0 & \frac{R_i}{R_m} \end{bmatrix}. \tag{21}$$

В случае осесимметричных колебаний ($n=0$): $V_m = V_i = 0$, $\mathbf{X}_m = [\xi_m \quad \eta_m \quad \mathcal{G}_m]^T, \mathbf{X}_{m,i} = [\xi_i \quad \eta_i \quad \mathcal{G}_i]^T$; соответственно в матрице $\mathbf{C}_{m,i}$ следует приравнять нулю четвертую строку и четвертый столбец.

Пусть k -ый КЭ оболочки, характеризуемый вектором обобщенных координат (10) или (11), который можно представить в виде $\mathbf{q}_k = \begin{bmatrix} \mathbf{X}_k \\ \mathbf{X}_{k-1} \end{bmatrix}$, жестко соединяется на узловой окружности k с окружностью i m -го шпангоута. Тогда

$$\mathbf{q}_k = \mathbf{C}_{m,i}^+ \begin{bmatrix} \mathbf{X}_m \\ \mathbf{X}_{m-1} \end{bmatrix}, \quad \mathbf{C}_{m,i}^+ = \begin{bmatrix} C_{m,i} & 0 \\ 0 & E \end{bmatrix}. \quad (22)$$

Если k -ый КЭ оболочки жестко соединяется на узловой окружности $k-1$ с окружностью i m -го шпангоута ($X_{k-1} = X_{m,i}$), то

$$\mathbf{q}_k = \mathbf{C}_{m,i}^- \begin{bmatrix} \mathbf{X}_k \\ \mathbf{X}_m \end{bmatrix}, \quad \mathbf{C}_{m,i}^- = \begin{bmatrix} E & 0 \\ 0 & C_{m,i} \end{bmatrix}. \quad (23)$$

Для подкрепляющего шпангоута, соединенного с оболочкой однорядным заклепочным или сварным швом, можно считать, что это соединение осуществляется только на одной окружности i этого шпангоута. В случае силового шпангоута, соединяющего края различных оболочек на различных окружностях i , необходимо учитывать эксцентриситеты этих соединений, т.е. координаты x_i, y_i . Таким образом m -ый шпангоут может быть соединен на одной, двух или более окружностях с различными оболочками. При этом векторы обобщенных координат на краях этих оболочек выражаются через вектор обобщенных координат \mathbf{X}_m m -го шпангоута на основании соотношений (22),(23).

Если шпангоут является тонкостенным и имеет деформируемый открытый или замкнутый контур поперечного сечения, то он рассматривается как упругая оболочка вращения. Путем деления контура на отрезки такой шпангоут представляется в виде системы нескольких кольцевых конических КЭ, которые соединяются на узловых окружностях с соответствующими КЭ основной оболочки.

Потенциальная и кинетическая энергии, а также вариация работы внешних нагрузок, системы оболочек вращения со шпангоутами получается путем суммирования (14), (17) по всем КЭ и шпангоутам с учетом условий их соединения (22), (23) и условий закрепления

$$P = \sum_k P_o^{(k)} + \sum_m P_{ш}^{(m)}, \quad T = \sum_k T_o^{(k)} + \sum_m T_{ш}^{(m)}, \quad \delta A = \sum_k \delta \mathbf{q}_k \mathbf{Q}_k + \sum_m \delta \mathbf{X}_m \mathbf{Q}_m. \quad (24)$$

Уравнения колебаний системы в обобщенных координатах записывается в виде

$$\mathbf{M}\ddot{\mathbf{q}} + \mathbf{K}\mathbf{q} = \mathbf{Q}(t). \quad (25)$$

Вектор обобщенных координат КЭ- модели для случая неосесимметричных колебаний незакрепленной оболочки со шпангоутами и со свободными краями

$k=0, k=r$ имеет вид

$$q = [\xi_0 \ \eta_0 \ \vartheta_0 \ V_0 \ \xi_1 \ \eta_1 \ \vartheta_1 \ V_1 \ \dots \ \xi_m \ \eta_m \ \vartheta_m \ V_m \ \dots \ \xi_r \ \eta_r \ \vartheta_r \ V_r]^T;$$

для осесимметричных колебаний ($n=0$) здесь следует опустить все компоненты V .

Для решения системы уравнений (25) высокого порядка их следует преобразовать к нормальным координатам, представляющим некоторое число s низших собственных форм колебаний [4]:

$$q(t) = \sum_{p=1}^s f_p(t) Y_p;$$

$$[-\omega^2 \mathbf{M} + \mathbf{K}] \mathbf{Y} = 0 \rightarrow \omega_p^2, Y_p;$$

$$m_p (\ddot{f}_p + \omega_p^2 f_p) = F_p(t), \quad (p=1, 2, \dots, s); \quad m_p = \mathbf{Y}_p^T \mathbf{M} \mathbf{Y}_p, \quad F_p = \mathbf{Y}_p^T \mathbf{Q}. \quad (26)$$

Пример расчета

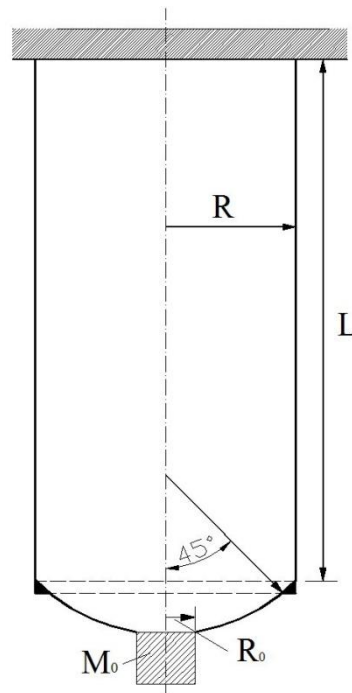


Рис.4

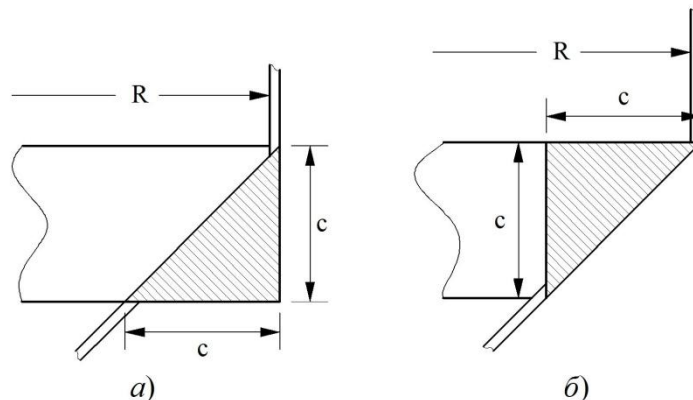


Рис.5

В качестве примера рассмотрим расчет собственных осесимметричных колебаний цилиндрической оболочки, соединенной упругим шпангоутом со сферическим днищем, к которому на окружности радиуса R_0 жестко присоединен груз с массой M_0 , рис.4. Шпангоут, жестко соединенный с оболочками, имеет сплошное недеформируемое поперечное сечение в виде равнобедренного прямоугольного треугольника в вариантах а и б, показанных на рис.5а, б. Цилиндрическая и сферическая оболочки являются изотропными, имеют одинаковую толщину h и коэффициент Пуассона $\mu=0.3$. Модуль упругости E и плотность материала ρ_0 оболочек и шпангоута одинаковы. Масса груза $M_0 = R^3 \rho_0$ кг. Исходные данные: $L = 4R$, $h = 0.0025R$, $c = 0.05R$, $R_0 = 0.2R$.

В таблице приведены безразмерные значения квадратов трех низших собственных частот колебаний $\lambda_p^2 = E^{-1}(1-\mu^2)\rho_0 R^2 \omega_p^2$, $p=1,2,3$ для двух вариантов шпангоута.

Таблица 1

вар	λ_1^2	λ_2^2	λ_3^2
а	0.00027154	0.08647651	0.28286304
б	0.00028381	0.08425886	0.30118976

Отсюда видно, что несмотря на то, что площадь поперечного сечения шпангоута в вариантах а и б одинакова, его расположение относительно соединяемых оболочек оказывает существенное влияние на собственные частоты колебаний. При этом еще большее влияние форма поперечного сечения соединительного шпангоута и его расположение оказывают на краевые изгибы оболочек.

Выводы

Разработан алгоритм расчета по методу конечных элементов осесимметричных и неосесимметричных колебаний составных ортотропных оболочек вращения с подкрепляющими и соединительными шпангоутами. Оболочки и тонкостенные шпангоуты с деформируемым контуром поперечного сечения моделируются кольцевыми коническими конечными элементами. Кроме этого рассматривается модель шпангоута в виде кольца с недеформируемым поперечным сечением с учетом эксцентриситетов его соединений с оболочками.

На примере цилиндрической оболочки со сферическим днищем, соединенных через упругий шпангоут, оценено влияние параметров шпангоута на собственные частоты колебаний.

Библиографический список

1. Васильев В.В. Механика конструкций из композиционных материалов. –М.:Машиностроение.1988. –272с.
2. Шмаков В.П. Избранные труды по гидроупругости и динамике упругих конструкций. –М.:Изд-во МГТУ им.Н.Э.Баумана,2011. –287с.
3. Сафронова Т.Д., Шклярчук Ф.Н. Применение метода отсеков к расчету колебаний круговых цилиндрических оболочек с тонкостенными шпангоутами// МТТ,1992, №2.-с.151-159.
4. Гришанина Т.В., Тютюнников Н.П., Шклярчук Ф.Н. Метод отсеков в расчетах колебаний конструкций летательных аппаратов. –М.:Изд-во МАИ, 2010.-180с.
5. Зенкевич О. Метод конечных элементов в технике. –М.:Мир,1975. –542с.
6. Расчеты машиностроительных конструкций методом конечных элементов: Справочник/ В.И.Мяченков, В.П.Мальцев, В.П.Майборода и др. – М.: Машиностроение,1989.–520с.
7. Бидерман В.Л. Механика тонкостенных конструкций. – М.: Машиностроение,1977.– 488с.